

固溶温度对 S32760 双相不锈钢组织与
耐点蚀性能的影响*陈雨来¹⁾ 罗照银²⁾ 李静媛²⁾

1) 北京科技大学冶金工程研究院, 北京 100083

2) 北京科技大学材料科学与工程学院, 北京 100083

摘要 利用 OM, EPMA, SEM, EDS, TEM 等研究了固溶温度对 S32760 双相不锈钢热轧板显微组织的影响及合金元素的分布特征, 并通过电化学工作站测定了材料的耐点蚀性能. 结果表明, S32760 双相不锈钢在 1080 °C 以上高温固溶过程中, N 元素从 γ 相扩散转移至 δ 相中. 若固溶后缓慢冷却, 则 N 原子又重新迁移回 γ 相中; 如果固溶后水冷, 则 N 原子来不及扩散, 于 δ 相中原位弥散析出 Cr_2N 颗粒. Cr_2N 颗粒的数量由淬火前的固溶温度决定, 温度越高数量越多. 当固溶温度从 1100 °C 升至 1300 °C 时, δ 相中 N 的固溶度快速上升, 其显微硬度由 281 HV 提高至 345 HV; 而 γ 相由于相比比例降低也使得 N 的浓度间接上升, 显微硬度由 290 HV 升至 314 HV. 同时, 由于实验钢中含有 W, S32760 双相不锈钢热轧板在 1040 °C 以下热处理有 σ 相析出, 因此其固溶水冷温度区间较窄, 最佳固溶温度为 1060 °C. 此温度保温 60 min 后水冷, 试样中无析出物, Brinell 硬度为 249 HBW, 点蚀电位为 1068 mV, 维钝电流密度为 $1.48 \times 10^{-4} \text{ A/cm}^2$.

关键词 双相不锈钢, 固溶处理, 析出, 耐点蚀性能

中图法分类号 TG142.71

文献标识码 A

文章编号 0412-1961(2015)09-1085-07

EFFECT OF SOLUTION TEMPERATURE ON MICRO-
STRUCTURE AND PITTING CORROSION
RESISTANCE OF S32760 DUPLEX
STAINLESS STEELCHEN Yulai¹⁾, LUO Zhaoyin²⁾, LI Jingyuan²⁾

1) Metallurgical Engineering Research Institute, University of Science and Technology Beijing, Beijing 100083

2) School of Materials Science and Engineering, University of Science and Technology Beijing, Beijing 100083

Correspondent: LI Jingyuan, professor, Tel: (010)82376939, E-mail: lijy@ustb.edu.cn

Supported by National Natural Science Foundation of China (No.51174026), National Science and Technology Pillar Program of the Twelfth Five-Year Plan (No.2012BAE04-B02)

Manuscript received 2015-01-15, in revised form 2015-06-04

ABSTRACT In order to obtain the optimal corrosion resistance, the characteristics of microstructure and alloy elements distribution of S32760 duplex stainless steel were studied after solid solution treatment at various temperatures from 1000 °C to 1300 °C by means of OM, EPMA, SEM, EDS and TEM. In addition, the pitting corrosion resistance was measured by the electrochemical workstation. The results show that the N atoms diffused into δ phase from γ phase during solution treatment when the temperature was higher than 1080 °C. N atoms migrated back into γ phase when the subsequent cooling was slow enough. However, Cr_2N phase in situ precipitated during quenching because there was not enough time for the N atoms to diffuse back into γ phase. Cr_2N particles increased with the solution temperature increasing. Furthermore, σ phase precipitated when the tested sheet was heat treated

* 国家自然科学基金项目 51174026 和十二五国家科技支撑计划项目 2012BAE04B02 资助

收到初稿日期: 2015-01-15, 收到修改稿日期: 2015-06-04

作者简介: 陈雨来, 男, 1970 年生, 副教授

DOI: 10.11900/0412.1961.2015.00044

at or below 1040 °C due to the high content of N. Thus it is obvious that the solution temperature range of the S32750 duplex stainless steel is quite narrow, which is between 1040 °C and 1080 °C, and it is confirmed that the optimal temperature is 1060 °C. After treated at 1060 °C for 60 min, the Brinell hardness of S32760 steel is 249 HBW, pitting potential is up to 1068 mV and the passive current density is as low as 1.48×10^{-4} A/cm².

KEY WORDS duplex stainless steel, solution treatment, precipitation, corrosion resistance

超级双相不锈钢(super duplex stainless steel, 简称 SDSS)由于耐点蚀当量 ≥ 40 , 具有比普通双相不锈钢更优异的耐蚀性能^[1-3]. 这类不锈钢中通常含有 20%以上的 Cr (质量分数)及一定量的 Mo 和 N, 与同性能级别的奥氏体不锈钢相比, 具有更高的强度、硬度和耐腐蚀性, 并可显著降低贵金属 Ni 的使用量^[4]. UNS S32760 钢是一种添加了少量的 W 和 Cu 的新型超级双相不锈钢, 由于进一步提高了耐局部腐蚀能力, 因此可应用于条件苛刻的石油、化工、军工、造纸等领域^[5,6].

超级双相不锈钢由于合金元素种类多、含量高, 热处理不当容易生成析出物, 如 χ , σ , Cr₂N 和 M₂₃C₆ 等^[7-9], 析出物会大大降低双相不锈钢的耐腐蚀性和力学性能^[10,11]. Lacerda 等^[12]对 UNS S31803 双相不锈钢在 1060, 1200 和 1300 °C 热处理后对两相比例、氮化物数量和形貌进行了研究, 并分析了其对疲劳性能的影响. Migiakis 等^[13]在研究 S32760 双相不锈钢在等离子电弧焊过程中显微组织和耐腐蚀性能变化时发现, 由于熔化区和焊接热影响区的冷却速率较大, 使得钢的相比比例平衡发生改变, 导致耐蚀性和机械强度下降. Elsabbagh 等^[14]测定了 S32760 双相不锈钢在 350~950 °C 时效后的冲击吸收功, 发现明显低于 1150 °C 固溶处理后的值, 表明析出物严重影响了钢的韧性. 向红亮等^[15]研究了固溶处理后的铸造 S32760 双相不锈钢在不同温度时效后的析出规律, 发现 950 °C 时效后仍有少量 σ 相析出.

目前关于 S32760 双相不锈钢的研究报道不多^[16,17], 尤其是 W 对其固溶、析出规律的影响作用尚缺乏深入探讨. 因此, 明确 S32760 双相不锈钢经不同固溶温度处理后的组织、耐腐蚀性能, 对合理制定其热处理工艺、提高性能, 开发该新钢种具有

重要意义.

1 实验方法

实验材料为厚度 12 mm 的 S32760 热轧钢板, 表 1 给出了其化学成分以及 ASTM A789 标准中 S32760 钢的成分范围. 可以看出, 实验钢成分符合 ASTM A789 标准要求.

从热轧板上切取 10 mm×10 mm×6 mm 的试样(切取位置为热轧板中部), 试样在 SRJX-8-13 箱式电阻炉中经 1000~1300 °C 每隔 50 °C 保温 60 min 后水淬处理. 草酸溶液电解或王水腐蚀后, 在 DM 2500M 金相显微镜(OM)上进行显微组织观察, 用 JE-OLJXA-8100 型电子探针显微分析仪(EPMA)观察析出相元素分布. 采用 VMHT 30M 显微维氏硬度计测量了 δ 相和 γ 相的硬度, 利用 EVO 18 型扫描电子显微镜(SEM)及能谱分析仪(EDS)对组织及析出相进行了成分分析, 用 JEM-2100F 透射电子显微镜(TEM)观察并确定了析出物的形貌和晶体结构. 用 XHB-3000 Brinell 硬度计测定了固溶后试样的 Brinell 硬度, 并在 PS-168C 型电化学测量系统上测定了经不同温度固溶后试样的极化曲线. 点蚀电位实验方法参考 GB/T 17899-1999, 实验介质是质量分数为 3.5%的 NaCl 溶液, 恒温水槽温度(30±1) °C, 参比电极为饱和甘汞电极(SCE), 辅助电极为石墨电极, 扫描速率为 20 mV/min.

2 实验结果与讨论

2.1 固溶温度对显微组织的影响

图 1 所示为 S32760 热轧钢板在固溶水淬后的显微组织. 图中深灰色为 δ 相、浅灰色为 γ 相、亮白色颗粒和黑色弥散细小颗粒均为析出物. 1000 °C 固溶处理后, 可以看到组织中仍有大量未溶解的亮白色 σ 相颗粒(图 1a). 1050 °C 固溶后水冷的组织由 δ 和 γ

表 1 实验用 S32760 双相不锈钢板及 ASTM 标准的化学成分

Table 1 Chemical compositions of S32760 duplex stainless steel and ASTM A789

(mass fraction / %)												
Steel	C	Cr	Ni	Mo	N	W	Cu	Mn	Si	S	P	Fe
ASTM A789	≤0.030	24.0~26.0	6.0~8.0	3.0~4.0	0.20~0.30	0.50~1.00	0.50~1.00	≤1.00	≤1.00	≤0.010	≤0.030	Bal.
S32760 steel	0.014	25.11	6.93	3.51	0.253	0.69	0.69	0.77	0.52	0.001	0.028	Bal.

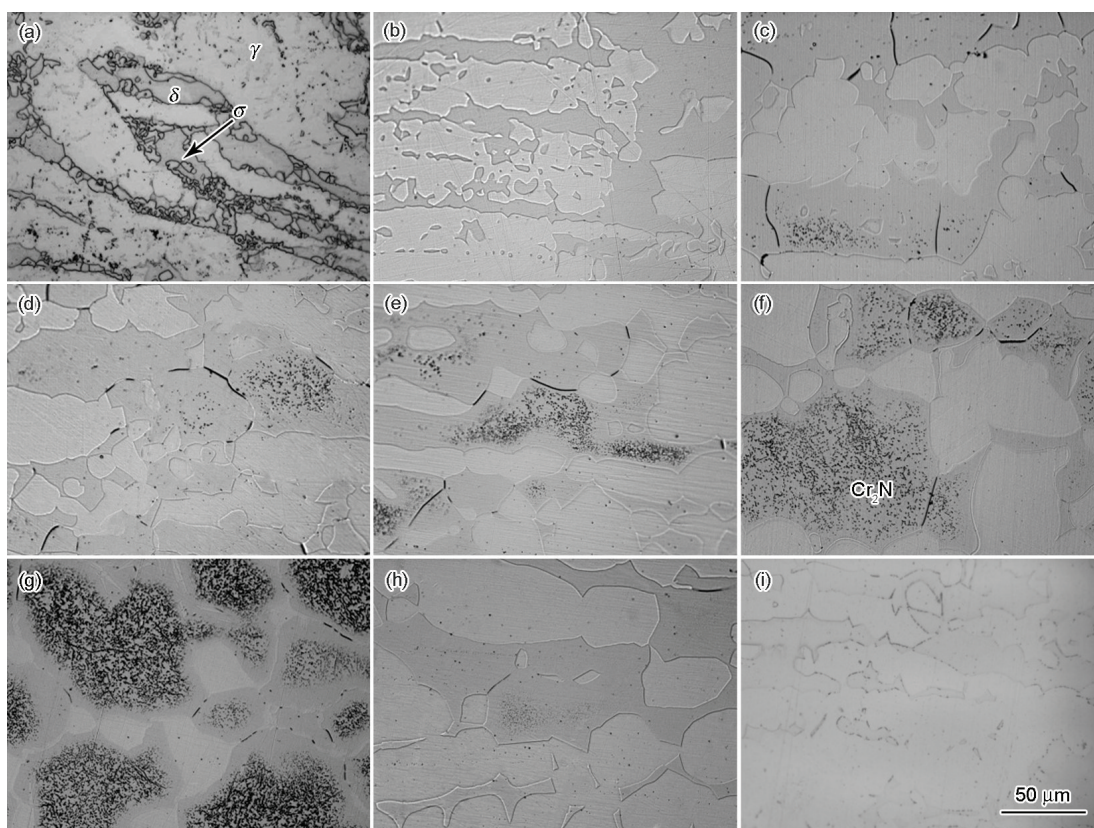


图1 S32760 双相不锈钢不同温度固溶 60 min 后水冷的 OM 像

Fig.1 OM images of S32760 duplex stainless steel after solution treatment at various temperatures for 60 min

- (a) 1000 °C (b) 1050 °C (c) 1100 °C (d) 1150 °C (e) 1200 °C (f) 1250 °C (g) 1300 °C
(h) furnace cooling from 1300 °C to 1100 °C and then water cooling
(i) 1100 °C and then air cooling

相组成, 未观察到析出相(图1b)。固溶温度为 1100~1300 °C 时, 在 δ 组织晶粒内部出现黑色弥散细小的颗粒状析出物, 并且随着温度升高, 析出物数量不断增多(图1c~g)。图1h 为 1300 °C 固溶后炉冷至 1100 °C 然后水冷至室温的金相组织。对比 1300 °C 直接水淬的组织(图1g)可以看出, δ 晶粒内部的弥散析出物数量明显减少, 其数量与 1100 °C 固溶水淬后(图1c)相当, 这说明淬火前的温度决定了析出相的数量。从图1i 所示 1100 °C 固溶后空冷的组织中发现, δ 晶粒内部几乎没有析出物, 仅在晶界上有少量颗粒状析出物, 这表明冷却速率决定了析出数量, 快速冷却造成了 δ 晶粒内部大量弥散析出, 慢的冷却速率减少了析出。因此可以分析得出, 析出物是在快速冷却过程中析出的, 而不是在高温保温过程中析出的。

从图1g 中还可以看到, δ 相的晶界周围没有弥散析出相, 高温(如 1300 °C)淬火后尤为明显, 即形成了晶界无析出自由区(precipitation free zone, PFZ), 这是由淬火空位造成的^[18]。据淬火空位的计算

公式 $C = A \cdot \exp(-U_v/(kT))$ (式中, C 为空位浓度; A 为常系数, 估计值在 1~10 之间; U_v 为单个空位的形成能; k 为 Boltzmann 常数; T 为热力学温度)^[19] 可知, 高温时材料内部空位浓度远远高于室温时的浓度。当试样水冷时, 极高的空位浓度被保留下来。然而, 在冷却的过程中, 由于晶界和相界是超额空位的吸收区域, 因此其周围的空位迅速扩散至晶界或相界上, 使得界面周围的空位浓度低于晶粒内部。低的空位浓度阻碍析出, 当低于析出相形核所需要的临界空位浓度时, 则形成 PFZ。该区域的宽度由空位浓度决定, 冷却速率越快, 能够扩散到晶界的空位越少, PFZ 的宽度也就越窄^[20]。

图2 所示为实验钢中基体与 σ 相的合金元素含量的 EPMA 面扫描分析结果。从图中可以看出, σ 相中富集 Cr, Mo 和 W, 贫 Ni, 也就是说, 由于加入 W 使得双相不锈钢中 σ 相的化学成分发生变化, 其析出也受到一定的影响。如图1a 所示, 1000 °C 保温 60 min 后仍有相当数量的 σ 相存在的现象表明, W 提高了双相不锈钢中 σ 相的稳定性, 使其易于析出,

不易于溶解。

2.2 Cr₂N析出及N原子在 δ 和 γ 相的迁移扩散

从图1可以看出,与通常双相不锈钢不同,1000℃淬火处理后S32760双相不锈钢中仍有大量 σ 相。将该温度的试样深度电解腐蚀后通过SEM观察,结果如图3a所示。可以看出,试样内部 δ 相基体及 δ/γ 相界上均分布有粒径3~5 μm 的颗粒状析出物,并且在析出物周围有凹坑。对图3a中的不同相进行EDS分析,结果如表2所示,从化学成分上可判断,观察到的颗粒状析出物为奥氏体。由 δ 相的共析分解反应 $\delta \rightarrow \sigma + \gamma_2$ 可以推断, δ 相分解生成 σ 和 γ_2 两相,因此可以断定 γ_2 相周边的凹坑是电解过程中 σ 相脱落造成的。向红亮等^[21]通过对3种含N量不同的29Cr超级双相不锈钢点蚀形貌进行观察,认为N含量的增加,可以提高奥氏体相的耐点蚀性

能,从而使腐蚀易先在奥氏体与铁素体晶界以及铁素体晶粒内部发生。腐蚀坑在铁素体晶粒内不断扩展长大,最终铁素体内的奥氏体颗粒被腐蚀坑包围,直到奥氏体颗粒脱落。图3a所示的组织形貌,与上述观点一致。如图3b所示,1300℃固溶淬火试样中原 δ 相内析出的大量细小弥散的析出物,经侵蚀后已基本脱落,留下规则的尺寸不足1 μm 的方形凹坑,在晶界和相界附近以及 γ 相内没有发现析出物。可以看出,1300℃的析出物形貌与1000℃有明显差别。

由于高温固溶淬火后出现的弥散析出物在高达1300℃时仍然存在,并且温度越高、冷却速率越快,析出越多,因此判断其析出机理不同于普通的时效析出。对1250℃固溶淬火试样做了TEM分析,实验结果如图4所示。图4a为析出物形貌,可以

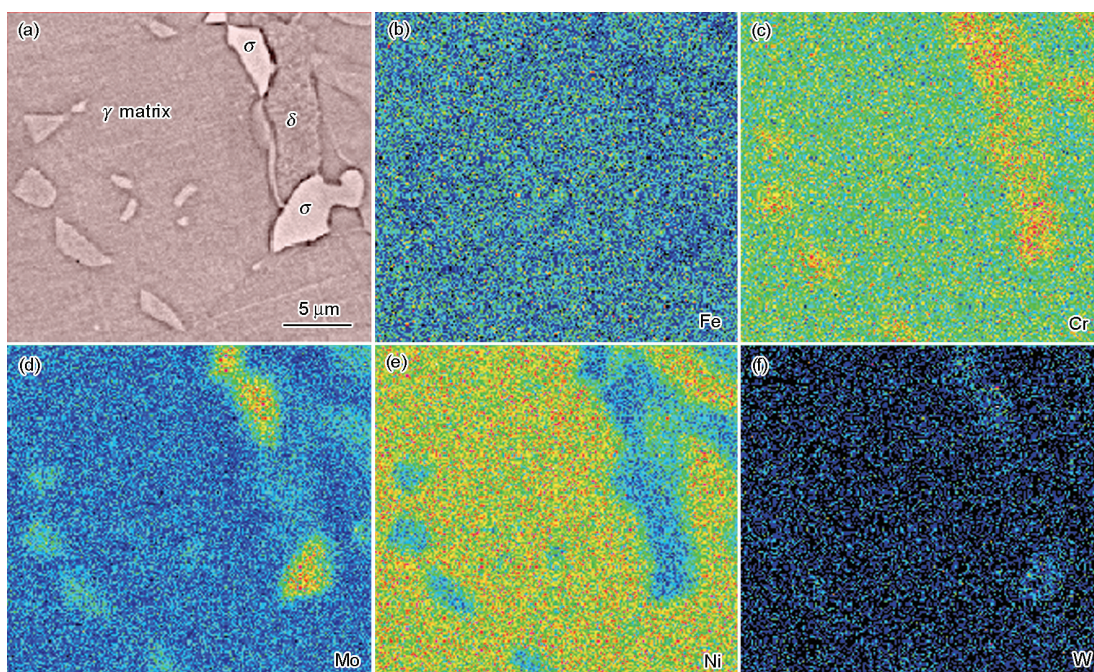


图2 S32760双相不锈钢1000℃保温60 min后的SEM像及EPMA面扫描结果

Fig.2 SEM image (a) and EPMA mapping of elements (b~f) in S32760 duplex stainless steel after treatment at 1000 °C for 60 min

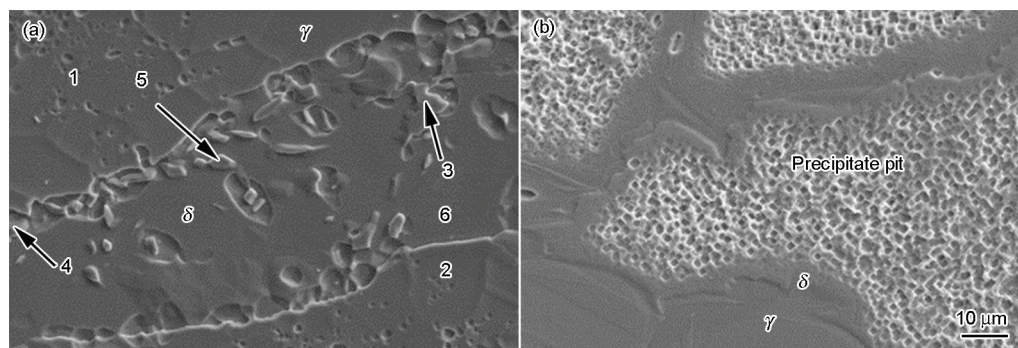


图3 经1000和1300℃热处理后试样内部析出物及其脱落后的SEM像

Fig.3 SEM images of samples after heat treatment at 1000 °C (a) and 1300 °C (b)

看出其粒径约为 100 nm, 近似方形, 与 SEM 下观察到的 δ 晶粒内的凹坑形貌一致. 对该析出物以及基体的衍射斑点进行标定, 结果如图 4b 所示. 结果显示, 该析出物为简单六方结构. 析出颗粒衍射花样的 3 组晶面 ($4\bar{2}63$), (0006) 和 ($4\bar{2}69$) 的晶面间距依次为 0.19034, 0.21305 和 0.11634 nm, 与 Cr_2N 的 PDF 卡中相应的标准晶面间距偏差依次为 0.77%, 2.23% 和 -1.49%. 衍射花样上晶面 ($4\bar{2}63$) 和晶面 (0006) 夹角的测量值与自洽检验得到的标准角度值 63.4° 间的偏差为 -0.8%, 因此可以断定析出颗粒为 Cr_2N . Cr_2N 颗粒与 δ 相基体间的位向关系为 $[1\bar{2}30]_{\text{Cr}_2\text{N}} // [001]_\delta$, 这一点不同于固溶时效后在 δ 晶粒内析出的 Cr_2N 颗粒与基体的取向关系 $[0001]_{\text{Cr}_2\text{N}} // [001]_\alpha$ [5].

研究 [5] 已经证明, Cr_2N 的析出温度范围为 700~1000 $^\circ\text{C}$, 按照热力学分析, 其析出温度也不会在 1100 $^\circ\text{C}$ 以上甚至 1300 $^\circ\text{C}$. 从本实验结果可知, 冷却速率越慢, Cr_2N 析出越少, 因此可以推断 Cr_2N 是在

水冷过程中析出的, 即高温固溶于 δ 相中的 N 原子, 由于室温固溶度大幅度下降, 而水冷时 N 原子来不及扩散, 因此在 δ 相中原位析出 Cr_2N .

大量基于双相不锈钢的研究都认为 N 是促进 γ 相形成元素, N 在 γ 相中的固溶度远高于在 α 相中, 钢中 N 主要分布在 γ 相中. 如 Garfias-Mesias 等 [22] 在研究双相不锈钢 S32550 的两相成分对其耐点蚀性能的影响时, 先假设 δ 相中的 N 含量在室温下的饱和值约 0.05%, 然后通过实验测定高温下两相比比例变化并运用质量守恒定律来确定 γ 相中的 N 含量, 再分别进行两相耐点蚀当量的计算. 但从本实验中 1100~1300 $^\circ\text{C}$ 固溶水冷后 Cr_2N 析出数量的变化可以发现, N 在 δ 相中的固溶度在此范围内发生了剧烈变化, 即随着温度升高, N 在 δ 相中的固溶度迅速提高, 即发生了 N 从 γ 相向 δ 相中的扩散迁移. 大量迁移至 δ 相中的 N 原子, 在缓冷过程中可以扩散回到 γ 相, 而在激冷过程中则以 Cr_2N 原位弥散析出.

两相显微硬度的分析结果也验证了高温下 N 原子向 δ 相中扩散的现象. 实验结果表明, 虽然两相的硬度都随着固溶温度升高而呈线性增加, 然而 δ 相硬度的增加速率更大. 1100 $^\circ\text{C}$ 固溶水冷后, γ 相的硬度高于 δ 相, 分别为 290 和 281 HV. 当固溶温度升至 1200 $^\circ\text{C}$ 以上时, δ 相的硬度高于 γ 相. 从 1100 $^\circ\text{C}$ 升温至 1300 $^\circ\text{C}$ 时, γ 相的硬度仅提高 24.6 HV, 而 δ 相的硬度提高了 63.5 HV. 硬度变化来源于合金元素固溶度的变化. 由于 N 原子半径远小于 Fe, 在 Fe 中以间隙原子形式存在于基体的八面体间隙中, 使 Fe 基体晶格产生不对称的畸变而形成间隙固溶强化 [23]. 赵钧良等 [24] 证实了, 随着固溶温度的升高, 00Cr25Ni7Mo4N 双相不锈钢的 α 相和 γ 相中 Cr, Mo, Si 和 Ni 的含量相差越来越小, 因此由这些合金

表 2 图 3a 中典型相化学成分的 EDS 分析
Table 2 EDS analysis on chemical compositions of various phases in Fig.3a

Point	Mass fraction / %			Phase
	Cr	Mo	Ni	
1	22.04	2.64	7.99	γ
2	21.67	2.50	10.64	γ
3	25.23	3.79	4.26	δ
4	20.33	2.14	8.26	γ
5	19.76	2.17	7.69	γ
6	19.68	2.30	7.68	γ

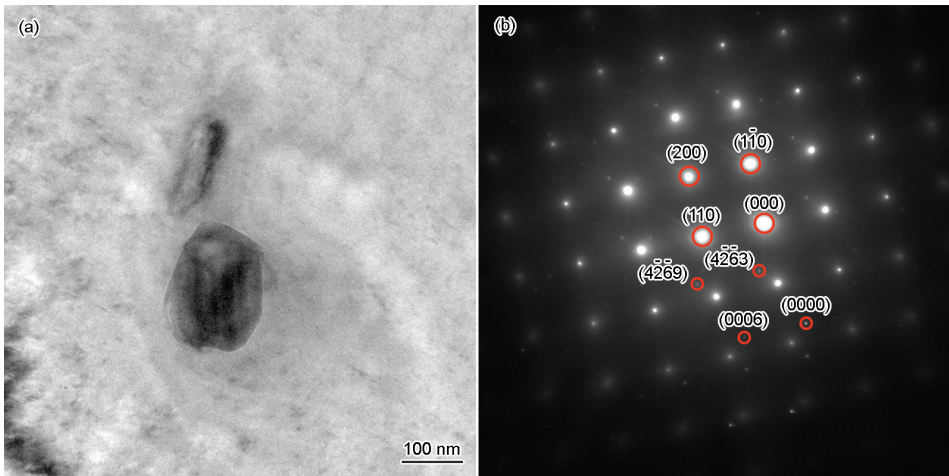


图 4 S32760 双相不锈钢 1250 $^\circ\text{C}$ 固溶水冷后析出物的 TEM 像及析出物 SAED 谱

Fig.4 TEM image (a) and SAED pattern (b) of S32760 duplex stainless steel after solution treatment at 1250 $^\circ\text{C}$

元素形成的置换固溶强化作用在两相中的差别也在逐渐减小. 事实上由 N 原子形成的间隙固溶强化作用比 Cr, Mo 和 Ni 等元素形成的置换固溶强化作用大 2 个数量级左右^[23]. 因此可以认为, S32760 双相不锈钢中两相显微硬度的变化, 主要是受两相中 N 元素含量的影响. 随温度升高, δ 和 γ 两相的硬度均升高, 表明两相中的 N 元素浓度均提高. 所不同的是, γ 相中的 N 元素浓度上升来源于 $\gamma \rightarrow \delta$ 相变, 即 γ 转变成 δ 相的部分 N 固溶度低, 残留的 γ 相中 N 浓度提高; δ 相中 N 元素浓度上升则来自于从 γ 相中的扩散. 这种 δ 相的体积分数和硬度同时上升的实验结果, 说明了 N 原子从 γ 相向 δ 相中迁移的事实.

2.3 固溶温度对耐点蚀性能的影响

对于超低 C ($\leq 0.03\%$) 的超级双相不锈钢, 很难发生任何类型的碳化物析出^[5]. 但 S32760 双相不锈钢由于含有很高的 N, Cr 和 Mo 等合金元素, 高温热处理后容易析出 σ 和 Cr_2N 相. 这些析出物容易造成贫 Cr 区域, 因此降低材料的耐点蚀性能. 从前述实验结果可知, 1100 °C 以上固溶水冷后, δ 晶粒内部存在 Cr_2N 颗粒, 而在 1000 °C 及以下温度则有 σ 相. 因此需明确最佳固溶温度, 保证实验钢中无析出物产生.

将热轧态试样在 1040~1100 °C 范围内每隔 20 °C 保温 60 min 后水冷, 结果如图 5 所示. 由图可见, 1040 °C 固溶处理后 σ 相没有完全溶解, 其尺寸为 2~5 μm (图 5a); 1060 °C 处理后, 基体干净, 没有析出物 (图 5b); 1080 °C 固溶水冷后的 δ 晶粒内已经开始有 Cr_2N 析出 (图 5c). 因此可以初步明确, S32760 热轧实验钢的最佳固溶水冷温度为 1060 °C.

按照 ASTM A789 和 ASTM A240 的规定, S32760 双相不锈钢管和板带材在固溶后的硬度值应分别小于 300 和 270 HBW. 本实验中, S32760 双相不锈钢经 1040~1100 °C 保温 60 min 固溶水冷后, 硬度均达到上述标准要求. 其中, 在 1040 °C 时, 由于 σ 相未完全溶解, 其硬度较高, 达到 260 HBW; 而 1060 °C 固溶试样中无析出物, 硬度最低为 249 HBW; 温度继续升高至 1080 和 1100 °C 后, 由于 Cr_2N 析出, 使得试样硬度逐步上升, 分别为 254 和 256 HBW.

从图 6 所示 1040~1100 °C 固溶水冷后的极化曲线可以看出, S32760 双相不锈钢在 NaCl 溶液中具有较高的点蚀电位, 钝化区间比较宽, 所测试样在 50~1000 mV 内都处于钝化区. 在钝化区间内, S32760 双相不锈钢表面形成致密的钝化膜, 因此对含 Cl^- 的溶液有较好的耐腐蚀性^[25].

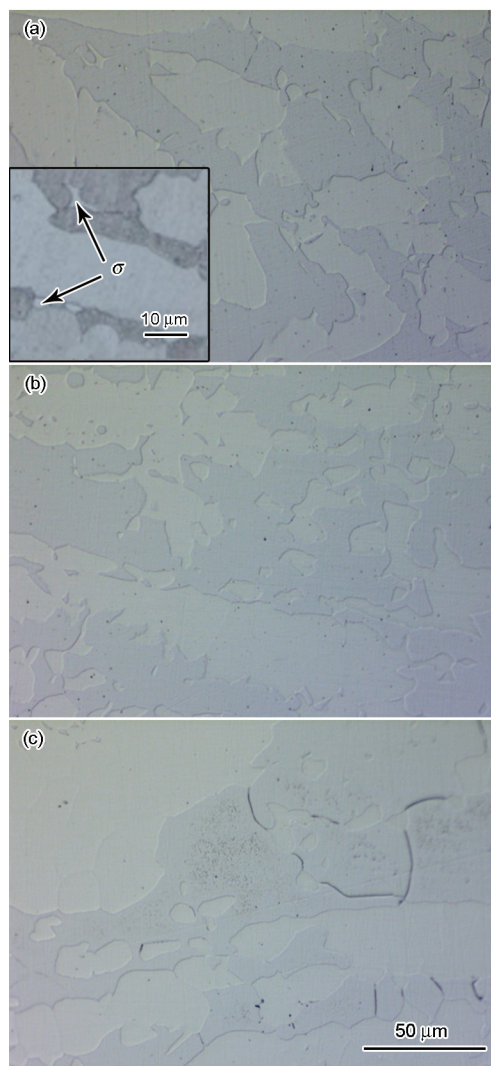


图 5 S32760 双相不锈钢不同温度固溶处理后的 OM 像
Fig.5 OM images of S32760 duplex stainless steel after heat treatment at 1040 °C (a), 1060 °C (b) and 1080 °C (c) for 60 min (Inset in Fig.5a show the high magnified image)

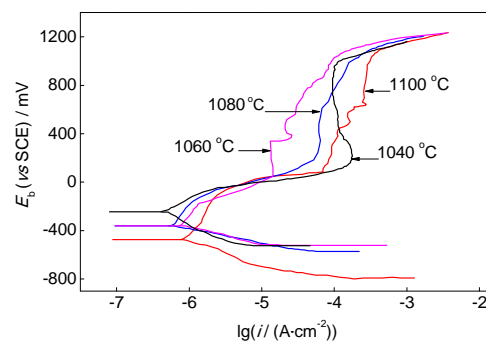


图 6 S32760 双相不锈钢经不同温度固溶处理后的极化曲线
Fig.6 Polarization curves of S32760 duplex stainless steel after solution treatment at various temperatures (E_p —pitting potential, i —passive current density)

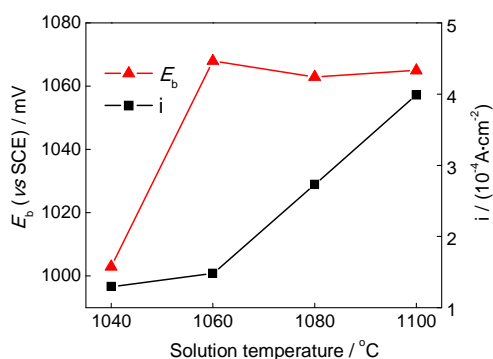


图7 S32760双相不锈钢经不同温度固溶处理后的点蚀电位及维钝电流密度

Fig.7 Pitting potential (E_b) and passive current density (i) of S32760 duplex stainless steel after solution treatment at various temperatures

各热处理温度的点蚀电位(E_b)和对应的维钝电流密度(i)如图7所示. 可以看出, 1040 °C固溶试样的 E_b 相对较低, 仅1003 mV, 这是因为组织中仍然存在未溶的 σ 相. 当固溶温度升高至1060 °C时 E_b 升高到最大值1068 mV, i 为 $1.48 \times 10^{-4} \text{ A/cm}^2$. 继续升高固溶温度, 虽然 E_b 变化不大, 大致稳定在1065 mV, 但是由于 i 呈线性增大趋势, 表明耐点蚀性能下降. 显然, 1060 °C固溶水冷的试样具有最高的 E_b 和较低的 i , 表明其耐点蚀性能最好, 该温度是最佳的固溶热处理温度.

3 结论

(1) S32760双相不锈钢热轧板在高温固溶过程中, N元素从 γ 相扩散转移到 δ 相中, 在随后的缓慢冷却过程中, N原子又重新迁移回 γ 相中. 然而如果固溶后水冷, N由于来不及扩散, 在 δ 相内过饱和, 从而原位弥散析出 Cr_2N 颗粒, 固溶温度决定了 Cr_2N 的析出数量.

(2) 固溶温度从1100 °C升至1300 °C, δ 相中N元素浓度快速上升, 而 γ 相由于相比比例降低也使得N浓度间接上升, δ 相的显微硬度由281 HV快速上升至345 HV, γ 相也由290 HV升至314 HV.

(3) S32760双相不锈钢由于N元素含量高, 因此1080 °C以上固溶水冷后有 Cr_2N 相析出. 同时由于添加了W元素, 使得直至1040 °C仍有 σ 相未溶析出. 因此其最佳固溶温度为1060 °C, 此时试样中无析出物, Brinell硬度为249 HBW, 点蚀电位可达1068 mV, 维钝电流密度为 $1.48 \times 10^{-4} \text{ A/cm}^2$.

参考文献

[1] Gurrappa I, Krishna Reddy C V. *J Mater Process Technol*, 2007;

182: 195

[2] Huang C S, Shih C C. *Mater Sci Eng*, 2005; A402: 66

[3] Migiakis K, Daniolos N, Papadimitriou G D. *Mater Manuf Processes*, 2010; 25: 598

[4] Sun X G. *Shanxi Metall*, 2013; (3): 6

(孙晓刚. 山西冶金, 2013; (3): 6)

[5] Wu J. *Duplex Stainless Steel*. Beijing: Metallurgy Industry Press, 1999: 8

(吴 玖. 双相不锈钢. 北京: 冶金工业出版社, 1999: 8)

[6] Yang S M, Chen Y C, Chen C H, Huang W P, Lin D Y. *J Alloys Compd*, 2015; 633: 48

[7] Fargas G, Anglada M, Mateo A. *J Mater Process Technol*, 2009; 209: 1770

[8] Bettini E, Kivisäkk U, Leygraf C, Pan J. *Electrochim Acta*, 2013; 113: 280

[9] Du J, Wang C, Wang K, Chen K. *Intermetallics*, 2014; 45: 80

[10] Chen X H, Ren X P, Xu H, Tong J G, Zhang H Y. *Int J Min Met Mater*, 2012; 19: 518

[11] Zanotto F, Grassi V, Merlin M, Balbo A, Zucchi F. *Corros Sci*, 2015; 94: 38

[12] Lacerda J C, Cândido L C, Godefroid L B. *Int J Fatigue*, 2015; 74: 81

[13] Migiakis K, Papadimitriou G D. *J Mater Sci*, 2009; 44: 6372

[14] Elsabbagh F M, Hamouda R M, Taha M A. *J Mater Eng Perform*, 2014; 23: 275

[15] Xiang H L, He F S, Liu D. *Acta Metall Sin*, 2009; 45: 1456

(向红亮, 何福善, 刘 东. 金属学报, 2009; 45: 1456)

[16] Udayakumar T, Raja K, Afsal Husain T M, Sathiyar P. *Mater Des*, 2014; 53: 226

[17] de Messano L V R, Sathler L, Reznik L Y, Coutinho R. *Int Biodegr Biodegr*, 2009; 63: 607

[18] Chen W, Wang X Y, Wang D Y, Zhang H G. *Heat Treat*, 2013; (3): 45

(陈 炜, 王晓燕, 王冬颖, 张会国. 热处理, 2013; (3): 45)

[19] Yan K R. *Metall Collections*, 1994; (1): 28

(颜宽然. 冶金丛刊, 1994; (1): 28)

[20] Li R S, Wang Z Y. *Acta Metall Sin*, 1994; 30: 477

(李仁顺, 王佐义. 金属学报, 1994; 30: 477)

[21] Xiang H L, Huang W L, Liu D, He F S. *Acta Metall Sin*, 2010; 46: 304

(向红亮, 黄伟林, 刘 东, 何福善. 金属学报, 2010; 46: 304)

[22] Garfias-Mesias L F, Sykes J M, Tuck C D S. *Corros Sci*, 1996; 38: 1319

[23] Yong Q L. *Secondary Phases in Steels*. Beijing: Metallurgy Industry Press, 2006: 7

(雍岐龙. 钢铁材料中的第二相. 北京: 冶金工业出版社, 2006: 7)

[24] Zhao J L, Xiao X S, Xu M H, Fang J X, Li J, Li M. *Shanghai Steel Iron Res*, 2006; (3): 33

(赵钧良, 肖学山, 徐明华, 方静贤, 李 钧, 李 明. 上海钢研, 2006; (3): 33)

[25] Comer A, Looney L. *Int J Fatigue*, 2006; 28: 826

(责任编辑: 毕淑娟)